

Algorithmen zur Visualisierung von Graphen

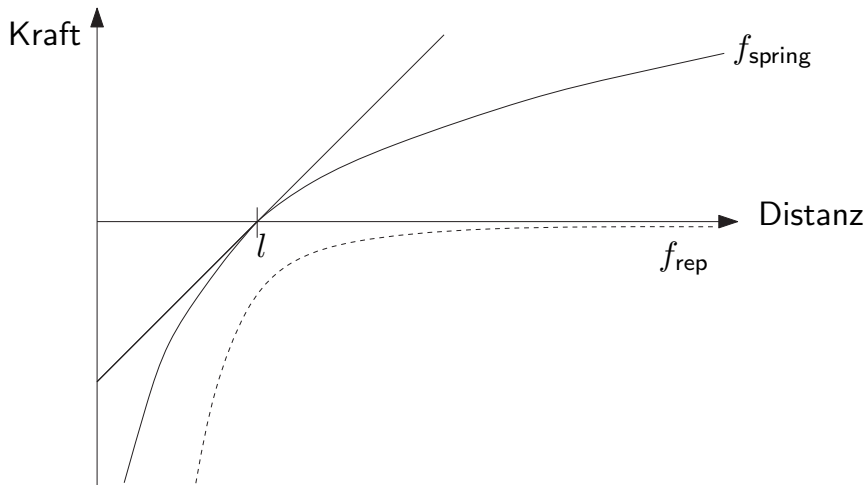
Kräftebasierte Verfahren – Teil 2

Vorlesung im Wintersemester 2010/2011

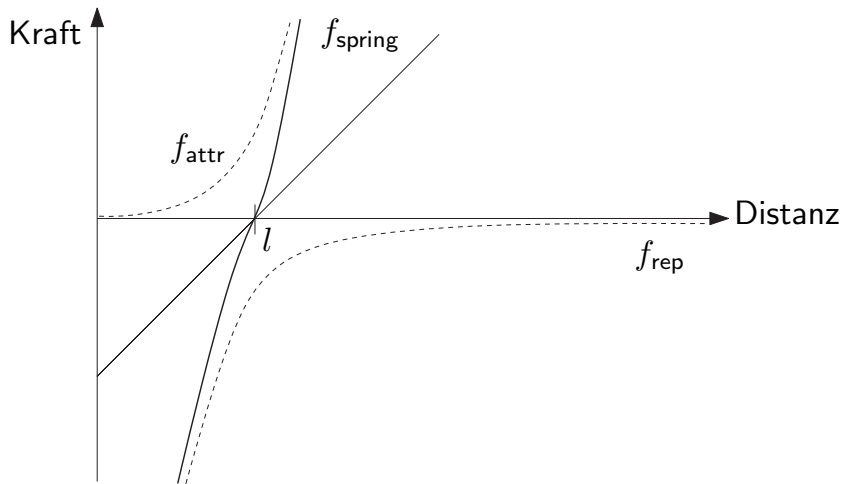
Robert Görke

27.10.2010

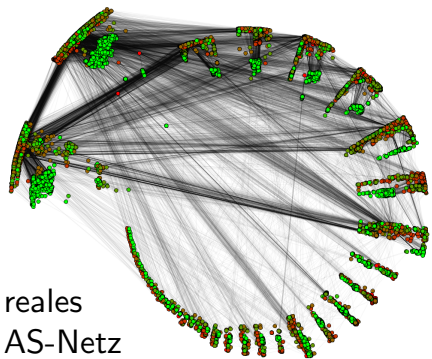
Kräftediagramm Spring-Embedder nach Eades (1984)



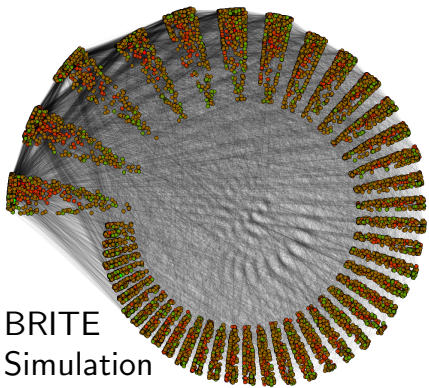
Kräftediagramm nach Fruchterman/Reingold (1991)



Ausflug zu einer Anwendung

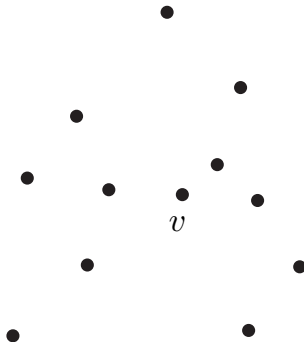


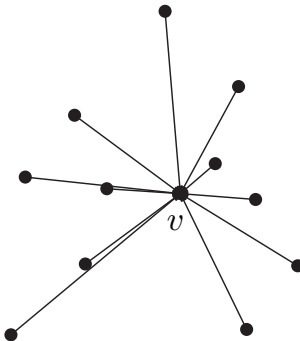
reales
AS-Netz

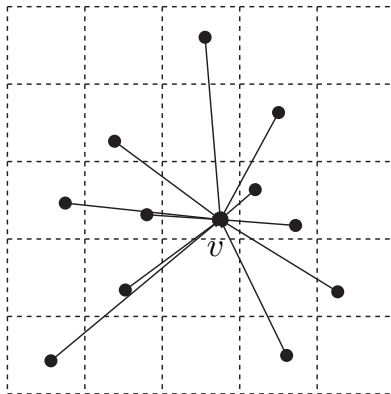


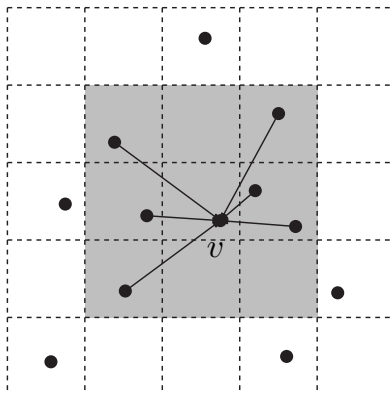
BRITE
Simulation

Core-Dekomposition, Max-Core links (klein), Farbe=Grad,
Größe=Zentralität, Winkel $\sim \#$ Knoten, Tiefe $\sim \#$ Kanten

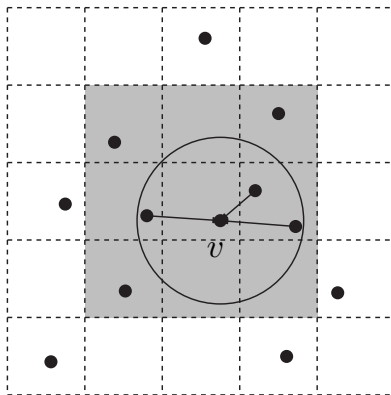




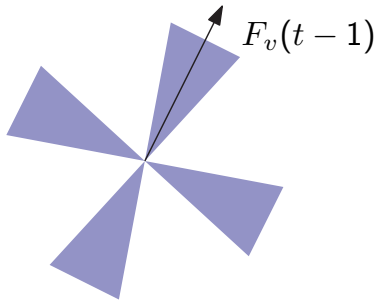




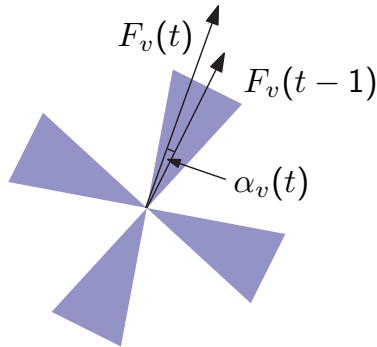
Gittertechnik



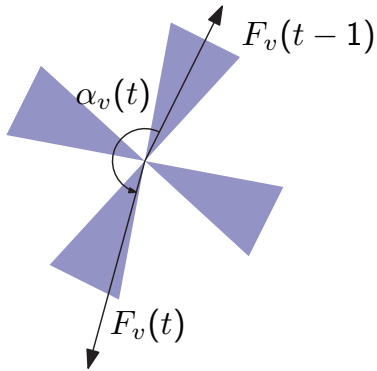
Adaptive Verschiebeweite



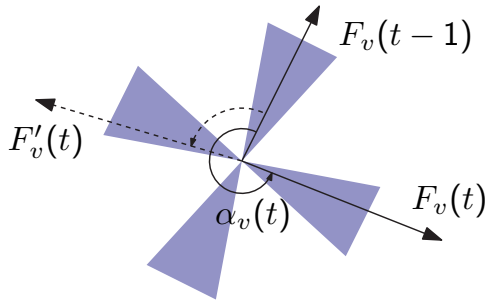
Adaptive Verschiebeweite



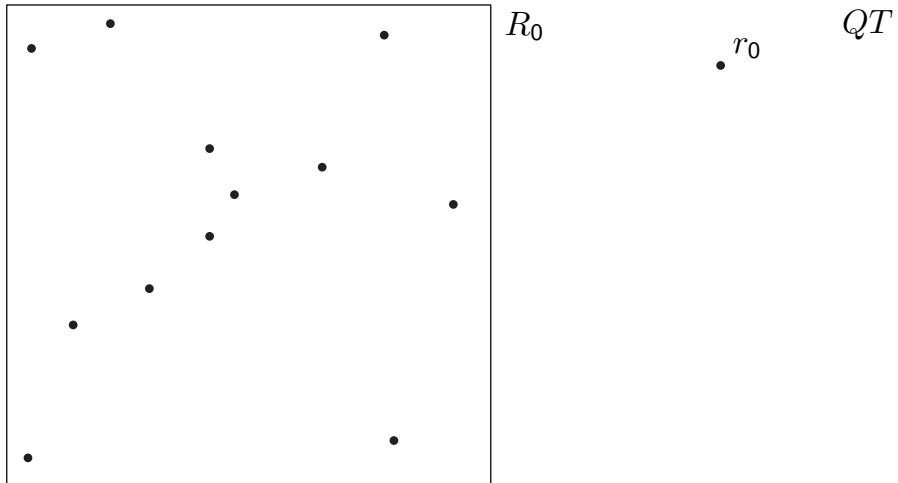
Adaptive Verschiebeweite



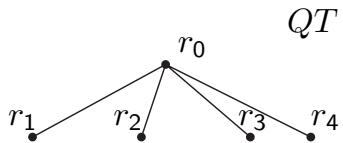
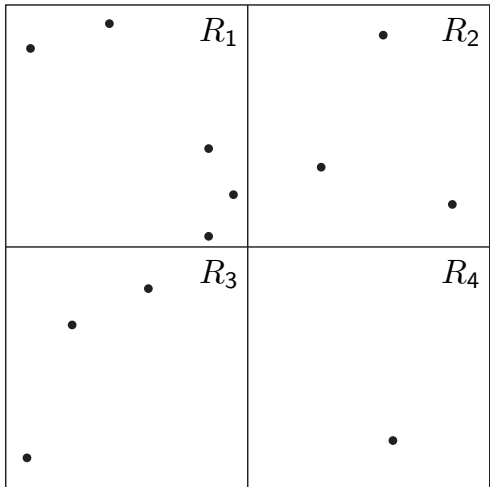
Adaptive Verschiebeweite



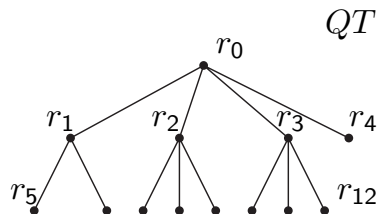
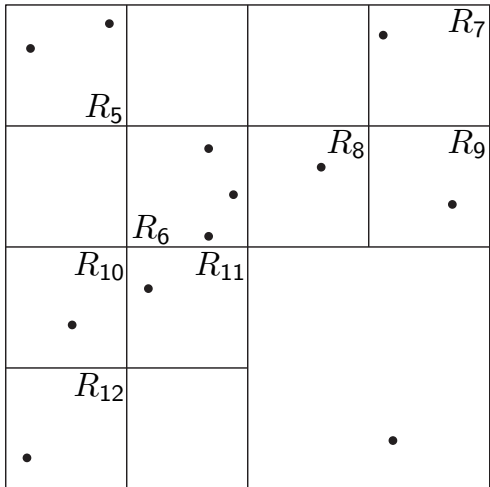
Quad-Tree



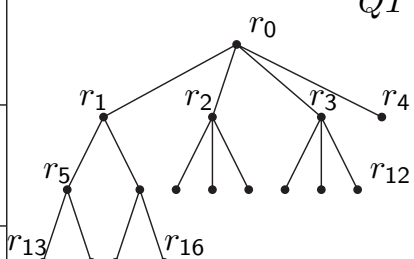
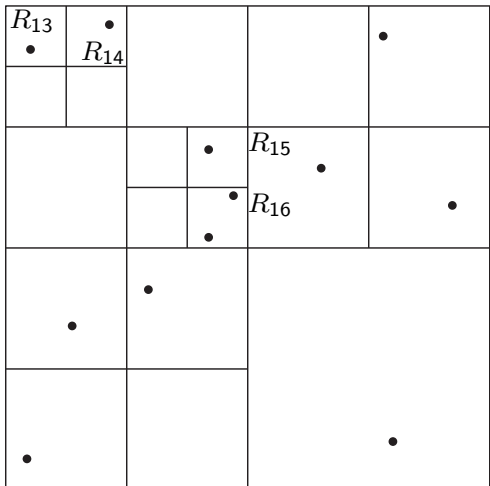
Quad-Tree



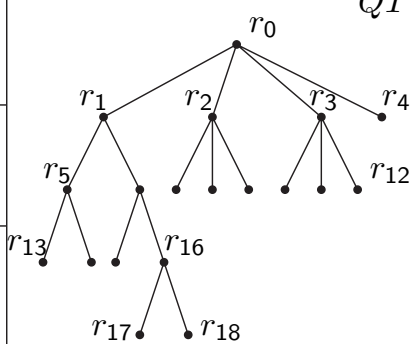
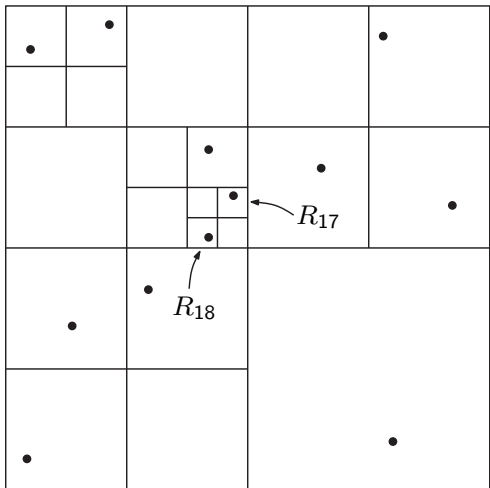
Quad-Tree



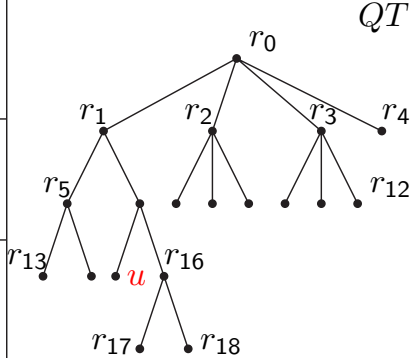
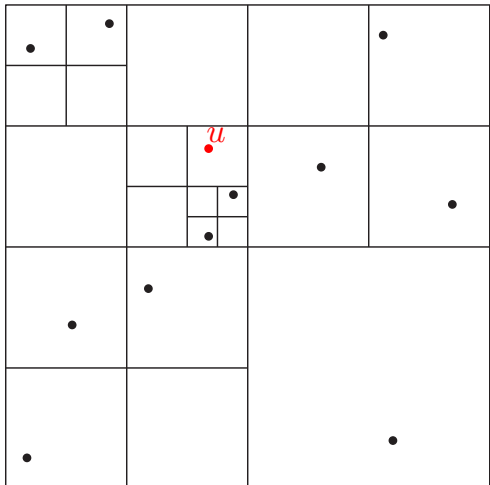
Quad-Tree



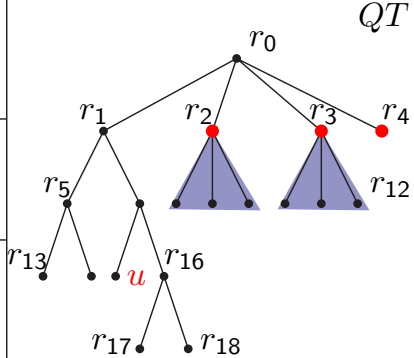
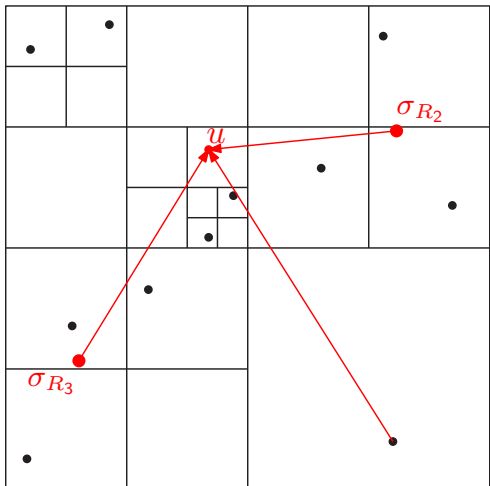
Quad-Tree



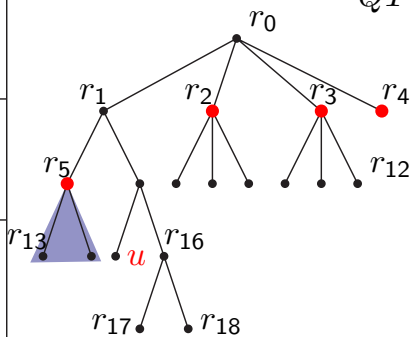
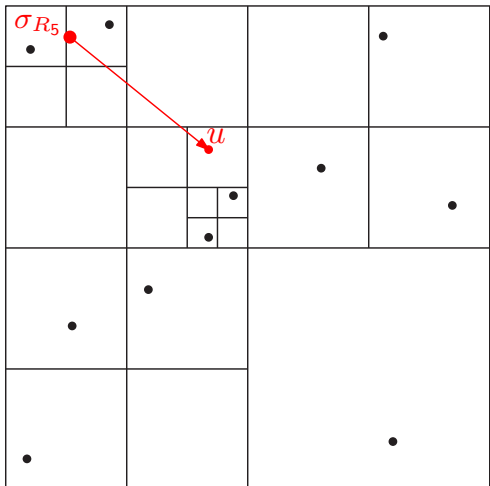
Berechnung abstoßende Kräfte



Berechnung abstoßende Kräfte



Berechnung abstoßende Kräfte



Berechnung abstoßende Kräfte

